

Inverz kvantum szórás

Apagyi Barnabás
BME, Elméleti Fizika Tanszék

SzTE szeminárium, 2016. november 3.

Tartalom

- ▶ **Bevezetés:** Schrödinger egyenlet (SE), Sturm-Liouville (SL) egyenlet SL spektrálproblémák, inverz feladatok.
- ▶ **Fix- ℓ inverz szórásprobléma:** Spektrálfüggvény, Gelfand-Levitan integrálegyenlet (GL), fizikai megoldás, Marchenko integrálegyenlet (M), Jost megoldás.
- ▶ **Fix- E inverz szórásprobléma:** GLM típusú integrálegyenlet, Newton-Sabatier (NS) és Cox-Thompson (CT) módszer.
- ▶ **Példák:** teszt, $n - \alpha$, $e - Ar$, $^{12}C - ^{12}C$, $\pi - \pi$, stb.
- ▶ **Fix- E inverz szórásprobléma:** exponenciális transzformáció, Horváth-Apagyi (HA) módszer (GL alkalmazása), Pálmai-Apagyi (PA) módszer (M alkalmazása).
- ▶ **Teszt példák:** box, lépcső, véges hatótávolságú Coulomb.
- ▶ **Összefoglalás**

Schrödinger egyenlet, Sturm-Liouville egyenlet

Radiális **Schrödinger egyenlet** (SE) gömbszimmetrikus potenciál esetén (XX.század):

$$-\frac{d^2 R_\ell(r)}{dr^2} + \left(\frac{\ell(\ell+1)}{r^2} + q(r) \right) R_\ell(r) = k^2 R_\ell(r),$$

$$R_\ell(r) \propto O(r^{\ell+1}), \quad r \rightarrow 0,$$

$$R_\ell(r) \propto e^{i\delta_\ell(k)} \sin(kr - \frac{\ell\pi}{2} + \delta_\ell(k)) + o(1), \quad r \rightarrow \infty.$$

Inverz feladat: $\{k_i^2 < 0\}, \{\delta_\ell(k)\} \Rightarrow q(r)$

Sturm-Liouville (SL) egyenlet (XIX. század):

$$-y''(x) + q(x)y(x) = \lambda y(x), \quad x \in [a, b] \rightarrow [0, \infty)$$

határfeltételek ($h_a, h_b \in \mathbb{R}$):

$$y'(a) = h_a y(a), \quad y'(b) = h_b y(b), \Rightarrow \{\lambda_n\}, \{y_n\}$$

Inverz feladat: $\{\lambda_n\} \Rightarrow q(x)$

Sturm-Liouville (SL) egyenletek

1. Fix- ℓ (s-hullám) inverz "szórás"

$$\{y(x) =: R_0(r), q(x) =: q(r), x =: r \in [0, \infty], \lambda =: k^2\}$$

$$-y''(x) + q(x)y(x) = \lambda y(x)$$

Inverz feladat: $\{\lambda_i < 0, \delta_0(\sqrt{\lambda})\} \Rightarrow q(x) \in L_1(0, \infty)$

Gelfand-Levitan (GL) és Marchenko (M) integrálegyenlet.

2. Fix- E inverz szórás $\{y_\ell(r) =: R_\ell(r)\}$

$$-r^2 y_\ell''(r) + r^2(q(r) - k^2)y_\ell(r) = -\ell(\ell + 1)y_\ell(r)$$

Inverz feladat: $\{\delta_\ell(k)\}_{\ell=0}^{\ell_{max}} \Rightarrow q(r) \in L_1(0, \infty)$ Newton-Sabatier (NS) és Cox-Thompson (CT) [mNS-Scheid és co., CT-Apagyi és co.]

Sturm-Liouville egyenletek (SL) (folyt.)

3. Fix- E inverz feladat (fix- ℓ használatával)

$$q(b \geq r \geq 0) \neq 0, \quad q(r > b) \equiv 0$$

Exp. koordináta transzformáció:

$$r = b \exp(-x), \quad r \in [0, b]$$

$$x = -\ln(r/b), \quad x \in [\infty, 0]$$

Hullámfüggvény transzformáció:

$$y_\lambda(x) =: R_\ell(r)/\sqrt{r}$$

$$-y_\lambda''(x) + Q(x)y_\lambda(x) = \lambda y_\lambda(x), \quad \lambda = -(\ell + 1/2)^2,$$

$$Q(x) = r^2(q(r) - k^2),$$

Inverz feladat: $\{\delta_\ell(k)\}_{\ell=0}^{\ell_{max}} \Rightarrow Q(x) \Rightarrow q(r)$

Horváth-Apagyi (HA&GL) és Pálmai-Apagyi (PA&M)

SL spektrálproblémák

$$Ly \equiv -y''(x) + q(x)y(x) = \lambda y(x), \quad x \in [0, \pi]$$

Határfeltételek ($h, H \in \mathbb{R}$):

$$y'(0) = hy(0), \quad y'(\pi) = Hy(\pi), \Rightarrow \{\lambda_n, n = 1, 2, \dots\}$$

Általános peremfeltétel ($\alpha, \beta \in [0, \pi]$):

spektrum

$$\left. \begin{array}{l} y(0) \cos \alpha + y'(0) \sin \alpha = 0 \\ y(\pi) \cos \beta + y'(\pi) \sin \beta = 0 \end{array} \right\} \equiv \{\sigma(\alpha, \beta)\} = \{\lambda_n, n \geq 1\}$$

Megj: ($h = -\cot \alpha, H = -\cot \beta \in \mathbb{R}$)

Megj: $q \in L_1[0, \pi], \exists \phi(a) = \sin \alpha, \phi'(a) = -\cos \alpha, a \in [0, \pi]$

Dirichlet: $\sigma\{0, 0\} = \{\lambda_n = n^2, y_n = \sin(nx), n \geq 1, (q = 0)\}$

Neumann: $\sigma\{\frac{\pi}{2}, \frac{\pi}{2}\} = \{\lambda_n = n^2, y_n = \cos(nx), n \geq 0, (q = 0)\}$

SL spektrálproblémák, inverz feladatok

0. Tétel: (Ambarzumian, 1929): Ha $q(x) \in L_1[0, \pi]$ Neumann spektruma $\{\lambda_n = n^2, n \geq 0\}$, akkor $q(x) \equiv 0$.

Biz. Felhasználjuk a Neumann spektrum becslését:

$$\lambda_n = n^2 + \frac{1}{\pi} \int_0^\pi q(x) + o(1), \quad n \geq 0.$$

A tétel szerint a legkisebb s.ért: $\lambda_0 = 0$, ezért $\int_0^\pi q(x) = 0$.

A SL egyenletből: $-y_0''(x) + q(x)y_0(x) = \lambda_0 y_0(x) = 0$, azaz

$$0 = \int_0^\pi q(x) = \int_0^\pi \frac{y_0''(x)}{y_0(x)} = \left[\frac{y_0'(x)}{y_0(x)} \right]_0^\pi + \int_0^\pi \frac{y_0'^2(x)}{y_0^2(x)} = \int_0^\pi \frac{y_0'^2(x)}{y_0^2(x)},$$

tehát $y_0'(x) \equiv 0$ azaz $y_0''(x) \equiv 0$, így LS miatt: $q(x)y_0(x) \equiv 0$, de $y_0(x) \neq 0(!)$, ezért $q(x) \equiv 0$. \square

SL inverz spektrál tételek

1. Tétel: (Borg, 1945):

A $q(x) = q(\pi - x)$ szimmetrikus potenciált meghatározza

N-N spektruma: $\sigma\{\pi/2, \pi/2\} \Leftrightarrow (y'(0) = y'(\pi) = 0)$,

D-D spektruma: $\sigma\{0, 0\} \Leftrightarrow (y(0) = y(\pi) = 0)$,

általános spektruma: $\sigma\{\alpha, \beta\}$, ha $\alpha + \beta = \pi$.

Megj: Általános potenciál esetén **egy spektrum nem** határozza meg a potenciált.

2. Tétel: (Borg, 1945, Levinson 1949):

Egy $q \in L_1(0, \pi)$ tetszőleges potenciált két spektruma:

$\sigma\{\alpha, \beta\} \cup \sigma\{\alpha, \gamma\} (\beta \neq \gamma)$ *egyértelműen meghatározza.*

Ennyi sajátérték általában kell is.

Megj: A bal oldali általános peremfeltételek megegyeznek!

Megj: Ha q^* egy másik potenciál ugyanezen spektrumokkal, akkor $q = q^*$.

SL inverz spektrál tételek (folyt.)

3. Tétel: (Borg, 1945):

- a) Ha $\sin \alpha \sin \beta = 0$ (azaz legalább az egyik oldalon nem szerepel y'), akkor a $\sigma\{\alpha, \beta\}$ spektrum **nem** határozza meg q -t.
- b) Ha $\sin \alpha \sin \beta \neq 0$ (azaz minden oldalon szerepel y' is), akkor a (legkisebb sajátérték nélküli) $\sigma\{\alpha, \beta\}_R$ **redukált spektrum** **nem** határozza meg q -t.

Megj: Az Ambarzumian téteknél a minimális $\lambda_0 = 0$ sajátértéknek döntő szerep jutott!

4. Tétel: (Borg, 1945):

- a) A $\sigma\{\alpha = 0, \beta = 0\} \cup \sigma\{\alpha = 0, \gamma \neq 0\}$, azaz a **két spektrum**:
 $y(0) = y(\pi) = 0$ Dirichlet-Dirichlet (D-D) és
 $y(0) = 0, y(\pi) \cos \gamma + y'(\pi) \sin \gamma = 0$ Dirichlet-Általános (D-Á)
együttesen meghatározza q -t; ennyi kell is.
- b) A $\sigma\{\alpha \neq 0, \beta = 0\}$ (Á-D) teljes, és a $\sigma\{\alpha \neq 0, \gamma \neq 0\}_R$ (Á-Á)
redukált spektrum **együtt meghatározza** q -t; ennyi kell is.

SL inverz spektrál tételek (folyt.)

Megj: A második spektrum $\sigma\{\alpha = \frac{\pi}{2}, \gamma = \frac{\pi}{2}\}$ választással éppen a $y'(0) = y'(\pi) = 0$ Neumann spektrum (N-N), ami egymaga meghatároz egy (szimm.) potenciált. Ezt redukálttá alakítva (egy sajátértéket ($\lambda_0 = 0$) elhagyva), egy teljes másik (N-D) spektrumra $\sigma\{\alpha = \frac{\pi}{2}, \beta = 0\}$, azaz $(y'(0) = 0, y(\pi) = 0)$ -ra van szükség ahhoz, hogy egyértelműen meghatározzunk egy q potenciált.

Pl. $q(x) \equiv 0$ esetén a N-N spektrum $\{\lambda_n = n^2, n \geq 0\}$ ($y'(\pi) = \sin(\sqrt{\lambda_n}\pi) = 0$ miatt), a N-D spektrum pedig $\{\lambda_n = (n + \frac{1}{2})^2, n \geq 1\}$ ($y(\pi) = \cos(\sqrt{\lambda_n}\pi) = 0$ miatt). Tehát, redukált spektrumot készítve az előbbiből, a fenti tétel értelmében kell $\exists q(x) \neq 0$ potenciál, amelynek N-N spektruma $\{\lambda_n = n^2, n \geq 1\}$ és N-D spektruma $\{\lambda_n = (n + \frac{1}{2})^2, n \geq 1\}$ spektrumot ad.

Ezt a potenciált eddig még nem határozták meg!

SL inverz spektrál tételek (folyt.)

Tanulság: Általában két spektrum kell az inverz feladat megoldásához, általános recepet nincsen. Nagyon függ minden a **Peremfeltételektől:** ($\exists y(0) = \sin \alpha$, $\exists y'(0) = -\cos \alpha$)

$$y(0) \cos \alpha + y'(0) \sin \alpha = 0$$

$$y(0) = 0, \alpha = 0, D; \quad y'(0) = 0, \alpha = \pi/2, N$$

Tétel	spektrum	unicitás
1.	$(0, 0)$ v. $(\pi/2, \pi/2)$ v. $(\alpha, \beta = \pi - \alpha)$	igen (szimmetrikusra)
2.	$(\alpha, \beta) \cup (\alpha, \gamma \neq \beta)$	igen (általánosra)
4a.	$(0, 0) \cup (0, \gamma \neq 0)$	igen (általánosra)
4b.	$\{(\alpha \neq 0, 0) \cup (\alpha \neq 0, \gamma \neq 0)\}_R$	igen (általánosra)
3a.	$(\alpha = 0, \beta)$ v. $(\alpha, \beta = 0)$ v. $(0, 0)$	nem
3b.	$(\alpha \neq 0, \beta \neq 0)_R$	nem

Kitekintés: A terület (unicitás) ma is igen aktív. R. Weder(2000), Gesztesy (2002), B. Simon(2006), Horváth Miklós (2007) stb.

Fix- $\ell = 0$: Gelfand, Levitan, Marchenko (1952)

(1) Általánosított Fourier-tanszformáció: (\mathcal{H} -térfelület $\Leftrightarrow \mathcal{F}$ -térfelület)

$$-y_q''(x, \lambda) + q(x)y_q(x, \lambda) = \lambda y_q(x, \lambda), \quad y_q(x, \lambda < 0) \in L^2(0, \infty)$$

$$f(x) = \int_{-\infty}^{\infty} F(\lambda) y_q(x, \lambda) d\rho_q(\lambda) \Leftrightarrow F(\lambda) = \int_0^{\infty} f(x) y_q(x, \lambda) dx$$

Norma (Parseval):
$$\int_0^{\infty} |f|^2 dx = \int_{-\infty}^{\infty} |F|^2 d\rho_q(\lambda)$$

Teljesség:
$$\int_{-\infty}^{\infty} y_q(x, \lambda) y_q(t, \lambda) d\rho_q(\lambda) = \delta(x - t)$$

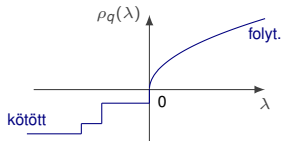
Spektrálfüggvény:

$$y_0(0) = 1, \quad y_0'(0) = h :$$

$$\rho_0(\lambda) = \frac{2}{\pi} \sqrt{\lambda} + O(1)$$

$$y_0(0) = 0, \quad y_0'(0) = h :$$

$$\rho_0(\lambda) = \frac{2}{3\pi} \sqrt{\lambda^3} + O(\lambda)$$



Fix- $\ell = 0$: Gelfand-Levitan, Marchenko (1952)

(2) Transzformációs operátor technika (két spektrum)

$$-\psi_q''(x, \lambda) + q(x)\psi_q(x, \lambda) = \lambda\psi_q(x, \lambda), \Rightarrow \rho_q(\lambda), \quad -\varphi''(x, \lambda) = \lambda\varphi(x, \lambda) \Rightarrow \rho_0(\lambda)$$

Transzformációs operátor Povzner-Levitan reprezentációja (Cauchy probléma XIX.sz.):

Fizikai megoldás:

$$\psi_q(x, \lambda) = \varphi(x, \lambda) + \int_0^x K(x, t)\varphi(t, \lambda)dt$$

$$q(x) = 2 \frac{d}{dx} K(x, x)$$

Gelfand-Levitan integrálegyenlet:

$$0 = F(x+t) + K(x, t) + \int_0^x K(x, s)F(s+t)ds$$

Input mennyiségek:

$$F(x) = \int_{-\infty}^{\infty} \varphi(x, \lambda)d\sigma(\lambda), \quad \sigma(\lambda) = \rho_q(\lambda) - \rho_0(\lambda)$$

Jost megoldás:

$$\psi_q^{(+)}(x, k^2) = \exp(ikx) + \int_x^{\infty} K(x, t)\exp(ikt)dt$$

$$q(x) = -2 \frac{d}{dx} K(x, x)$$

Marchenko integrálegyenlet

$$0 = F(x+t) + K(x, t) + \int_x^{\infty} K(x+s)F(s, t)ds$$

Input mennyiségek:

$$F(x) = \sum_j \exp(-k_j x) / \int_0^{\infty} |\psi_q^{(+)}(x, ik_j)|^2 dx +$$

$$\frac{1}{2\pi} \int_{-\infty}^{\infty} [(1 - \exp(2i\delta(k))) \exp(ikx)] dk$$

Fix- E : Newton-Sabatier (1962), Cox-Thompson (1970)

Transzformációs operátor technika (k fix, $\mathbf{S} \equiv \{\ell\}$, $\mathbf{T} \equiv \{L\}$, $\mathbf{S} \cap \mathbf{T} = \emptyset$):

$$\begin{aligned}-r^2 \psi_\ell''(r) + r^2(q(r) - k^2)\psi_\ell(r) &= -\ell(\ell+1)\psi_\ell(r), \quad \psi_\ell(r) \propto \sin(kr - \ell\pi/2 + \delta\ell(k)), \quad r \rightarrow \infty \\ -r^2 u_\ell''(r) + r^2(-0 - k^2)u_\ell(r) &= -\ell(\ell+1)u_\ell(r), \quad u \propto r^{\ell+1}, \quad v \propto r^{-\ell}, \quad r \rightarrow 0\end{aligned}$$

Povzner-Levitán (PL) reprezentáció és potenciál:

$$\psi_\ell(r) = u_\ell(r) - \int_0^r K(r,t)u_\ell(t)t^{-2}dt, \quad q(r) = -(2/r)d(K(r,r)/r)dr$$

GLM "típusú" integrálegyenlet:

$$K(r,t) = g(r,t) - \int_0^r K(r,s)g(s,t)s^{-2}ds$$

Inverz feladat: Input fázistolások, $\{\delta_\ell\}_{\ell \in S} \in g(r,t) = g(t,r)$ input szimm. kernel $\Rightarrow q(r)$

mNS módszer (Scheid (1980), $|S| < \infty$)

$$V(r > r_0) = 0, |S| \gtrsim kr_0 = 2 - 10 = \ell_{max}$$

$$g(r,t) = \sum_{\ell \in S} c_\ell u_\ell(r)u_\ell(t) = g(t,r)$$

$$GLM: K(r,t) = \sum_{\ell \in S} c_\ell \psi_\ell(r)u_\ell(t)$$

PL (M ismert, $\ell \in S$):

$$\psi_\ell(r) = u_\ell(r) - \sum_{\ell' \in S} c_{\ell'} M_{\ell\ell'}(r)\psi_{\ell'}(r)$$

GLM: lineáris egyenlet rendszer $\{c_\ell\}$ -re

Inverz feladat:

$$\{\delta_\ell\}_{\ell \in S} \rightarrow \{c_\ell\}_{\ell \in S} \rightarrow K(r,r) \rightarrow q(r)$$

Tulajdonsága:

$$\int rV(r) = 0, V(r \rightarrow 0) \sim 1/r \rightarrow \infty$$

CT módszer ($|S| = |T|$, $L \in T$ eltolt imp.mom.)

$$g(r,t) = \sum_{\ell \in S} c_\ell u_\ell(r_-)v_\ell(r_+) \text{ (Green függvény)}$$

$$\text{Ansatz: } K(r,t) = \sum_{L \in T} A_L(r)u_L(t)$$

Nemlineáris T -re (Apagyi (1990)):

$$e^{2i\delta_\ell} = \frac{1+i\kappa_\ell^+(T)}{1-i\kappa_\ell^-(T)}, \quad \ell \in S \rightarrow L \in T$$

Lineáris $A_L(x)$ -kra:

$$\sum_{L \in T} A_L(x) \frac{W[u_L(x), v_\ell(x)]}{\ell(\ell+1) - L(L+1)} = v_\ell(x), \quad \ell \in S$$

Inverz feladat:

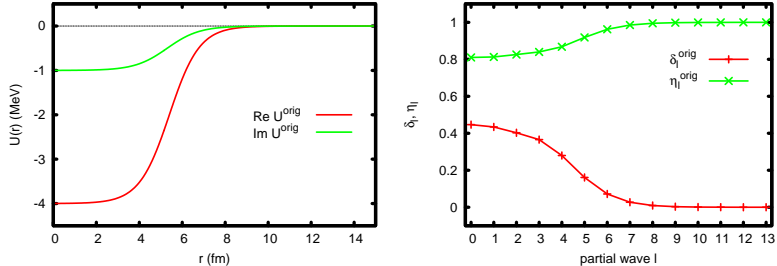
$$\{\delta_\ell\}_{\ell \in S} \rightarrow T \rightarrow \{A_L(r)\} \rightarrow K(r,r) \rightarrow q(r)$$

Tulajdonsága:

$$\int rV(r) \neq 0, V(r \rightarrow 0) < \infty (\approx 1/r)$$

NS és CT teszt: WS potenciál ($n = 10$ Ne, $E = 25$ MeV)

Numerical Results – Uncharged Particles

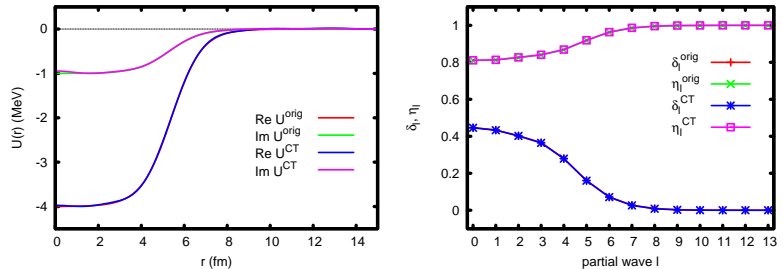


- spinless particles with mass $A_1 = 1$ and $A_2 = 20$ at $E_{cm} = 25$ MeV
- number of input phase shifts: $n = 14$
- Woods-Saxon model potential

$$U^{\text{orig}}(r) = \frac{-4 \text{ MeV}}{1 + \exp\{(r - 5.4)/0.7\}} + i \frac{-1 \text{ MeV}}{1 + \exp\{(r - 5.3)/0.75\}}$$

NS és CT teszt: WS potenciál ($n = 10$ Ne, $E = 25$ MeV)

Numerical Results – Uncharged Particles

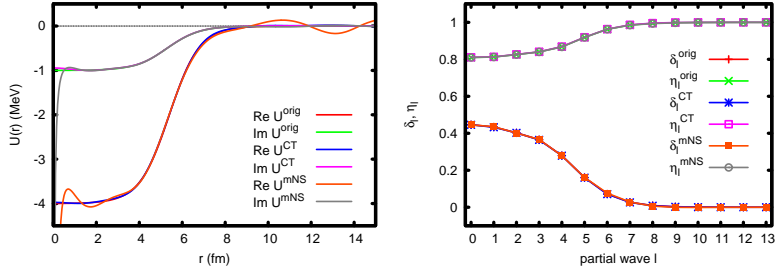


- spinless particles with mass $A_1 = 1$ and $A_2 = 20$ at $E_{cm} = 25$ MeV
- number of input phase shifts: $n = 14$
- Woods-Saxon model potential

$$U^{\text{orig}}(r) = \frac{-4 \text{ MeV}}{1 + \exp\{(r - 5.4)/0.7\}} + i \frac{-1 \text{ MeV}}{1 + \exp\{(r - 5.3)/0.75\}}$$

NS és CT teszt: WS potenciál ($n = 10$ Ne, $E = 25$ MeV)

Numerical Results – Uncharged Particles

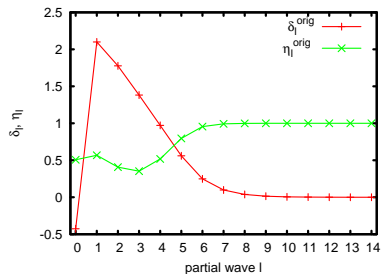
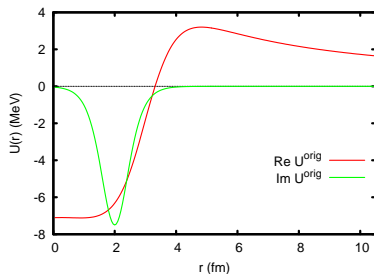


- spinless particles with mass $A_1 = 1$ and $A_2 = 20$ at $E_{cm} = 25$ MeV
- number of input phase shifts: $n = 14$
- Woods-Saxon model potential

$$U^{\text{orig}}(r) = \frac{-4 \text{ MeV}}{1 + \exp\{(r - 5.4)/0.7\}} + i \frac{-1 \text{ MeV}}{1 + \exp\{(r - 5.3)/0.75\}}$$

WS+Coulomb potenciál ($\alpha = 12$ C, $E = 25$ MeV)

Numerical Results – Charged Particles

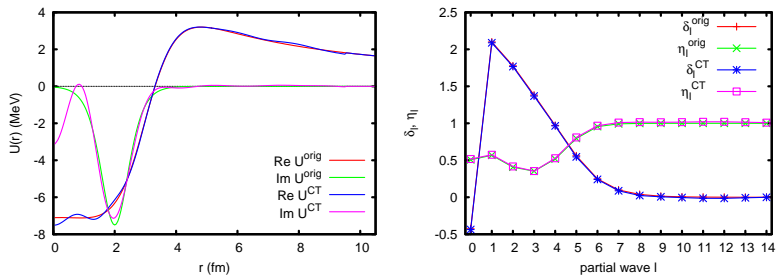


- particles with mass $A_1 = 4$ $A_2 = 12$ and charge $Z_1 = 2$ $Z_2 = 6$ at $E_{cm} = 25$ MeV
- number of input phase shifts: $n = 15$
- optical potential model

$$U^{\text{orig}}(r) = U^R(r) + iU^I(r) + U_C(r)$$

WS+Coulomb potenciál ($\alpha = 12$ C, $E = 25$ MeV)

Numerical Results – Charged Particles

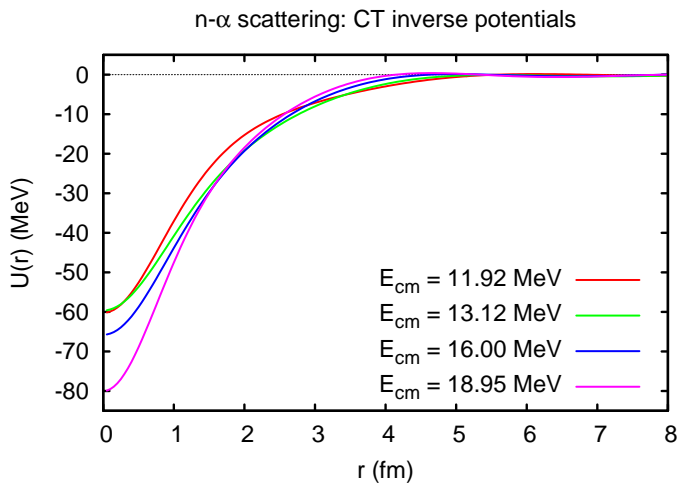


- particles with mass $A_1 = 4$ $A_2 = 12$ and charge $Z_1 = 2$ $Z_2 = 6$ at $E_{cm} = 25$ MeV
- number of input phase shifts: $n = 15$
- optical potential model

$$U^{\text{orig}}(r) = U^R(r) + iU^I(r) + U_C(r)$$

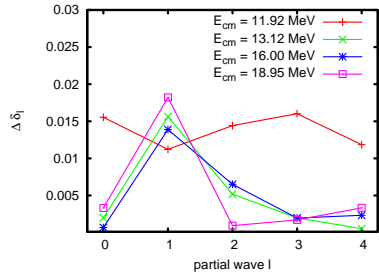
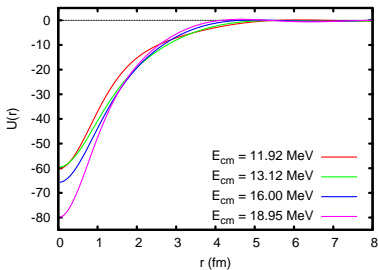
Fix- E (kísérleti) eredmények

$n - \alpha$ kölcsönhatások



$n - \alpha$ (kísérleti) kölcsönhatások

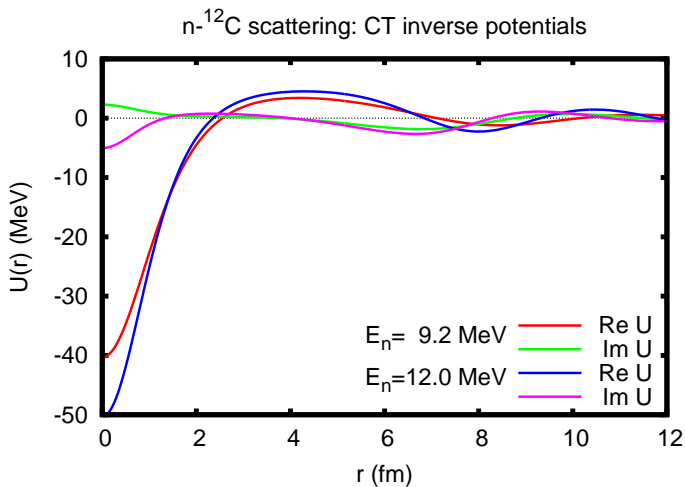
Numerical Results – Experimental Data



- $n - \alpha$ scattering at different scattering energies
- number of input phase shifts: $n = 5$
- obtained potentials in agreement with microscopic many-body calculations

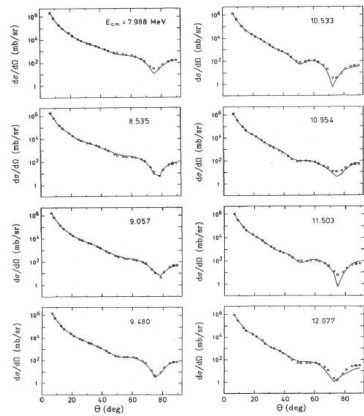
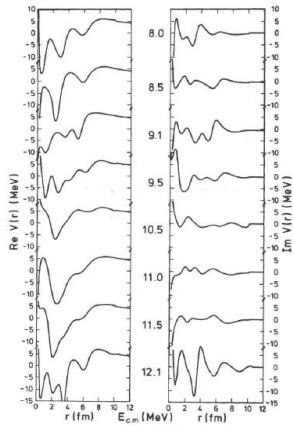
Fix- E (kísérleti) eredmények

$n - {}^{12}C$ kölcsönhatások



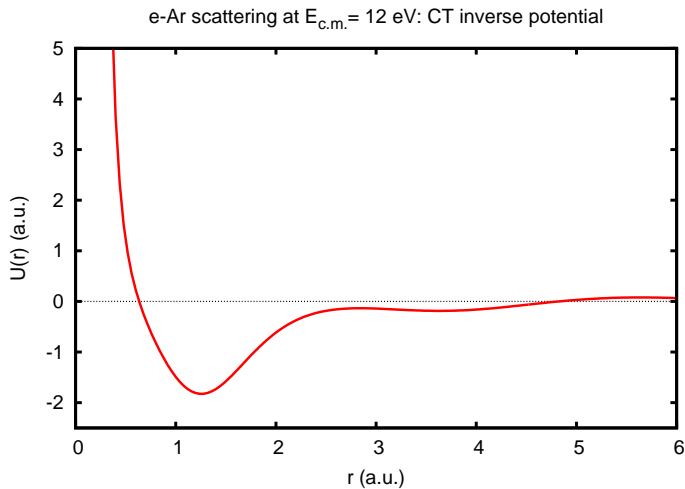
Fix- E (kísérleti) eredmények

12C-12C komplex potenciálok $E=8-12$ MeV



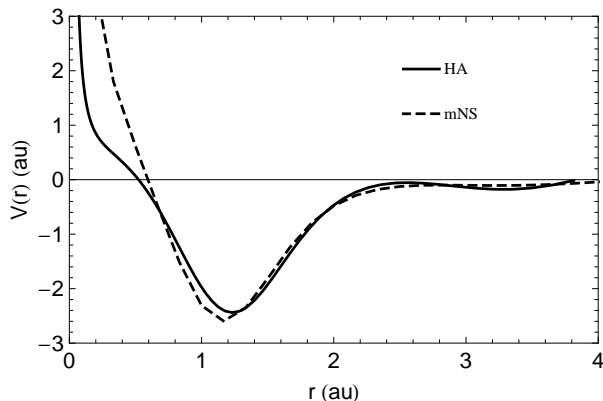
Fix- E (kísérleti) eredmények

$e - Ar$ kölcsönhatás (Williams, 12 eV)



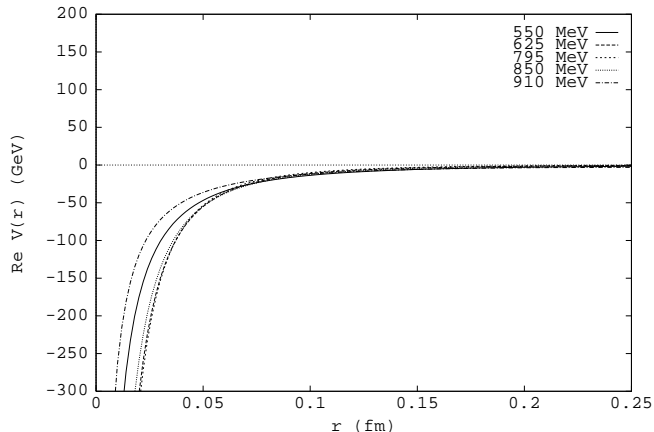
Fix- E (kísérleti) eredmények

$e - Ar$ kölcsönhatás (Williams, 12 eV)



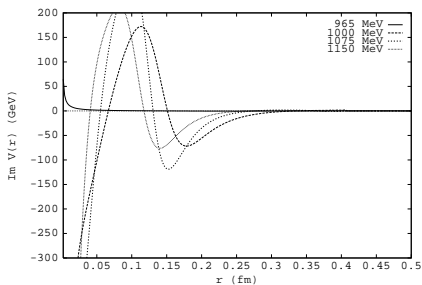
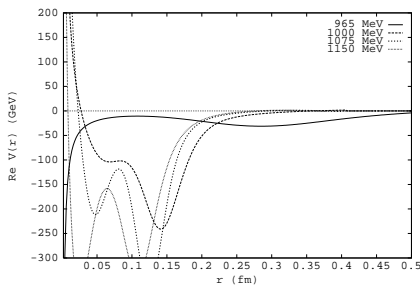
Fix- E (kísérleti) eredmények

$\pi - \pi$ kölcsönhatás kaon küszöb alatt (Frogatt)



Fix- E (kísérleti) eredmények

$\pi - \pi$ kölcsönhatás kaon küszöb felett (Frogatt)



Fix–E inverz feladat (GL és M használatával)

$$-\frac{d^2 R_\ell(r)}{dr^2} + \left(\frac{\ell(\ell+1)}{r^2} + q(r) \right) R_\ell(r) = k^2 R_\ell(r), \quad q(r \geq b) = 0, \quad R_\ell(r=b) \propto \sin(kb - \frac{\ell\pi}{2} + \delta_\ell(k))$$

Transzformációk: $b \exp(-x) = r \in [0, b] \Rightarrow x = -\ln(r/b) \in [\infty, 0]; y_\ell(x) = R_\ell(r)/\sqrt{r}$

$$-y_\ell''(x) + Q(x)y_\ell(x) = -(\ell + 1/2)^2 y_\ell(x), \quad Q(x) = r^2 \left(q(r) - k^2 \right), \Rightarrow q(r) = Q(-\ln(r/b))/r^2 + k^2$$

Inverz feladat: $\{\delta_\ell(k)\}_{\ell \in S} \Rightarrow F(x) \Rightarrow Q(x) \Rightarrow q(r)$

A GL egyenletet használata (HA, 2008):

$$0 = F(x+t) + K(x, t) + \int_0^x K(x, s)F(s+t)ds,$$

Az input $F(x) = \int_{-\infty}^{\infty} \cos(\sqrt{\lambda}x)d\sigma(\lambda)$ egy integrálja kifejezhető az input fázistolásokkal:

$$\int_0^{\infty} F(x) \exp[(\ell + 1/2)x] dx = \mu_\ell, \quad \ell \in S$$

$$\mu_\ell = \frac{J_{\ell+3/2}(kb) - \tan \delta_\ell Y_{\ell+3/2}(kb)}{J'_{\ell+1/2}(kb) - \tan \delta_\ell Y'_{\ell+1/2}(kb)}, \quad \ell \in S$$

$$\text{GL-ből: } 2 \frac{d}{dx} K(x, x) = Q(x) \Rightarrow q(r)$$

Tétel a Weyl-Titchmarsh $m(\lambda)$ -függvény és a $\rho(\lambda)$ spektrál függvény meghatározza egymást.

$$\boxed{\frac{1}{y'_\lambda(0)/y_\lambda(0)} = \frac{1}{m(\lambda)} = \int_{-\infty}^{\infty} \frac{d\rho(t)}{\lambda - t}.} \Rightarrow$$

A Marchenko egyenlet használata (PA, 2014):

$$0 = F(x+t) + K(x, t) + \int_x^{\infty} K(x, s)F(s+t)ds,$$

$$F(x) = \frac{1}{2\pi} \int_{-\infty}^{\infty} \left(1 - e^{2i\Delta(\kappa)} \right) e^{i\kappa x} d\kappa$$

$$\Delta(\kappa) = \frac{1}{\pi} \mathcal{P} \int_{-\infty}^{\infty} \frac{\log |f^+(\kappa')| d\kappa'}{\kappa' - \kappa}, \quad (Q(x) \text{ fázisa!})$$

$$\frac{|f^+(\kappa)|^2}{\kappa} = \lim_{\varepsilon \rightarrow 0^+} \frac{1}{\text{Im } m(\kappa^2 + i\varepsilon)}, \quad \kappa > 0,$$

Rybkin-Tuan (2009):

$$m(\lambda) \approx i\sqrt{\lambda} + \sum_{n=0}^{\ell_{\max}} c_n(-i\sqrt{\lambda}).$$

$$\cdot \sum_{\ell=0}^n a_{n\ell} [m(-(\ell + 1/2)^2) + \ell + 1/2],$$

c_n és $a_{n\ell}$ ismert (függvény) együtthatók.

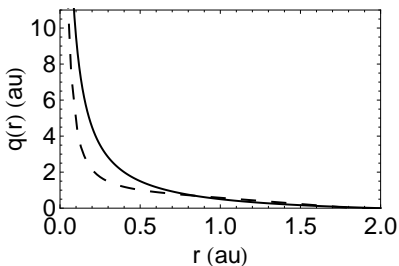
$$y'_\ell(0)/y_\ell(0) = m(-(\ell + 1/2)^2) =$$

$$= kb \frac{J'_{\ell+1/2}(kb) - \tan \delta_\ell Y'_{\ell+1/2}(kb)}{J_{\ell+1/2}(kb) - \tan \delta_\ell Y_{\ell+1/2}(kb)}$$

Fix- E (PA&M): teszt eredmények

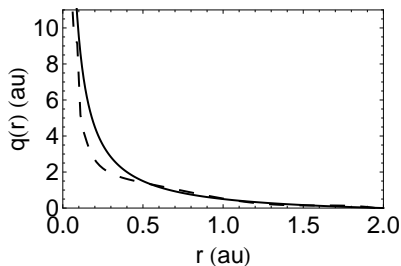
Csonkolt Coulomb potenciál:

$$q(r \leq b = 2) = 1/r - 1/b \quad q(r > b) = 0$$



PA rekonstrukciók, $k = 0.8, \ell_{max} = 1$

ℓ	δ_ℓ
0	-0.2991
1	-0.0317

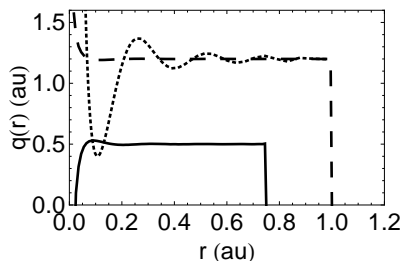


PA rekonstrukciók, $k = 1, \ell_{max} = 3$

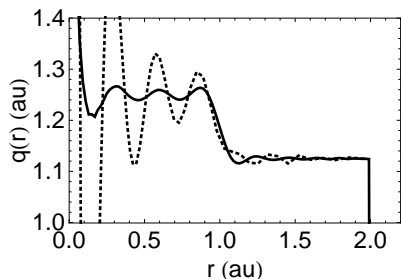
ℓ	δ_ℓ
0	-0.3481
1	-0.0538
2	-0.0046
3	-0.0002

Fix- E (HA&GL és PA&M): teszt eredmények

$$q(r \leq 1) = 1.2, q(r \leq 0.75) = 0.5; \quad q(r \leq 1) = 1.25, q(1 < r \leq b = 2) = 1.125$$



Box potenciálok, PA rekonstrukciók.
(HA pontozott vonal.)
 $k = 1, \ell_{max} = 10$.



Step potenciálok, PA rekonstrukciók.
(HA pontozott vonal.)
 $k = 1, \ell_{max} = 20$.

Összefoglalás

- ▶ Schrödinger egyenlet és a klasszikus Sturm-Liouville (SL) spektrálprobléma összefüggése.
- ▶ SL spektrál (egyértelműségi) feladatok, nem lezárt terület.
- ▶ **Fix- $\ell = 0$ inverz szórásprobléma:** GL egyenlet
 $q(t) \in [0, x]$ -en, a Marchenko egyenlet $q(t) \in [x, \infty)$ -en.
- ▶ **Fix- E inverz szórásprobléma:** Nyitott terület:
 - (1) Newton-Sabatier és Cox-Thompson módszer, továbbfejlesztésük (**Scheid**) széleskörűen használható:
 $n - \alpha$, $e - Ar$, $^{12}C - ^{12}C$, $\pi - \pi$.
 - (2) Új módszer, exponenciális transzformáció (**Horváth**), teszt fázisban: box, lépcső, véges hatótávolságú Coulomb példák.
- ▶ **Matematikus/fizikus hallgatóknak tág terület nyílik tdk/diploma/doktori munkára.**

Irodalom

- ▶ B Apagyi, A Ostrowski, W Scheid and H Voit: Phase shift analysis and inversion to a potential for $^{12}\text{C}+^{12}\text{C}$ elastic scattering at $\text{ECM}=9.50$ and 11.38 MeV , *J. Phys. G: Nucl. Part. Phys.* 18 195-204 (1992)
- ▶ Barnabás Apagyi, Alexander Schmidt, Werner Scheid, and Helmut Voit: $^{12}\text{C}+^{12}\text{C}$ elastic scattering potentials obtained by unifying phase-shift analysis with the modified Newton-Sabatier inverse method, *Phys. Rev. C* 49, 2608 (1994)
- ▶ N. Alexander, K. Amos, B. Apagyi, and D. R. Lun: Nucleon-alpha-particle interactions from inversion of scattering phase shifts, *Phys. Rev. C* 53, 88-95 (1996)
- ▶ M. Eberspaecher, B. Apagyi, and W. Scheid: Solution of a Coupled Channel Inverse Scattering Problem at Fixed Energy by a Modified Newton-Sabatier Method, *Phys. Rev. Lett.* 77, 1921-1924 (1996)
- ▶ Báthory B, Harman Z, and Apagyi B: Pion-pion potentials by inversion of phase shifts at fixed energy, in *Hadrons, Nuclei and Applications* (A. Zichichi ed., World Scientific Publishing Co, 2001) pp. 140-145
- ▶ Barnabás Apagyi, Zoltán Harman and Werner Scheid: Solution of the Cox-Thompson inverse scattering problem using finite set of phase shifts, *J. Phys. A: Math. Gen.* 36 4815-4826 (2003)
- ▶ T. Palmai, M. Horvath and B. Apagyi: Simplified solutions of the Cox-Thompson inverse scattering method at fixed energy, *J. Phys. A: Math. Theor.* 41 (2008) 235305
- ▶ Miklós Horváth and Barnabás Apagyi: Solution of the inverse scattering problem at fixed energy for potentials being zero beyond a fixed radius, *Modern Physics Letters B (MPLB)* Volume: 22, Issue: 23, Page 2137 - 2149 (2008)
- ▶ Tamás Pálmai, Barnabás Apagyi and Werner Scheid: Development of a Cox-Thompson inverse scattering method to charged particles, *J. Phys. G: Nucl. Part. Phys.* 37 (2010) 025101
- ▶ Tamás Pálmai, Barnabás Apagyi: Quantum mechanical inverse scattering problem at fixed energy: a constructive method, *Methods and Applications of Analysis* 18 (2011) pp. 93-104
- ▶ Tamás Pálmai and Barnabás Apagyi: Fixed energy potentials through an auxiliary inverse eigenvalue problem, *Inverse Problems* 28 085007 (2012)
- ▶ Tamás Pálmai and Barnabás Apagyi: The inverse scattering problem at fixed energy based on the Marchenko equation for an auxiliary Sturm-Liouville operator, *J. Phys. A: Math. Theor.* 46 045303 (2013)